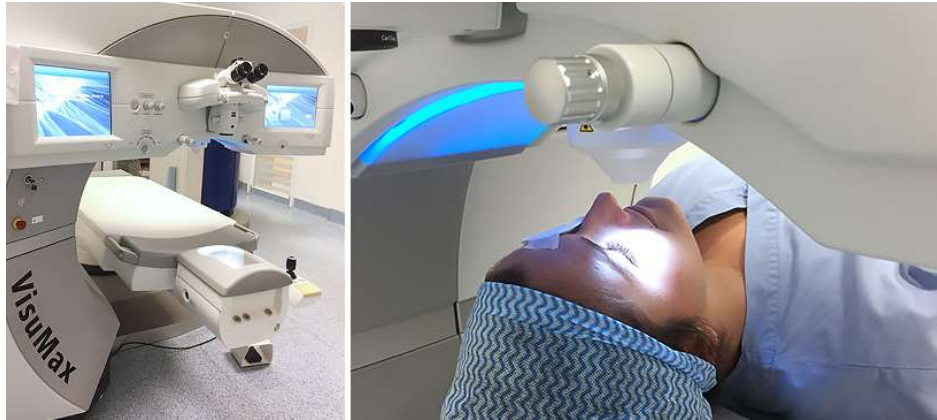


Mesure des défauts de l'œil

Objectifs



Source : cliniquelamartine.fr

voulu



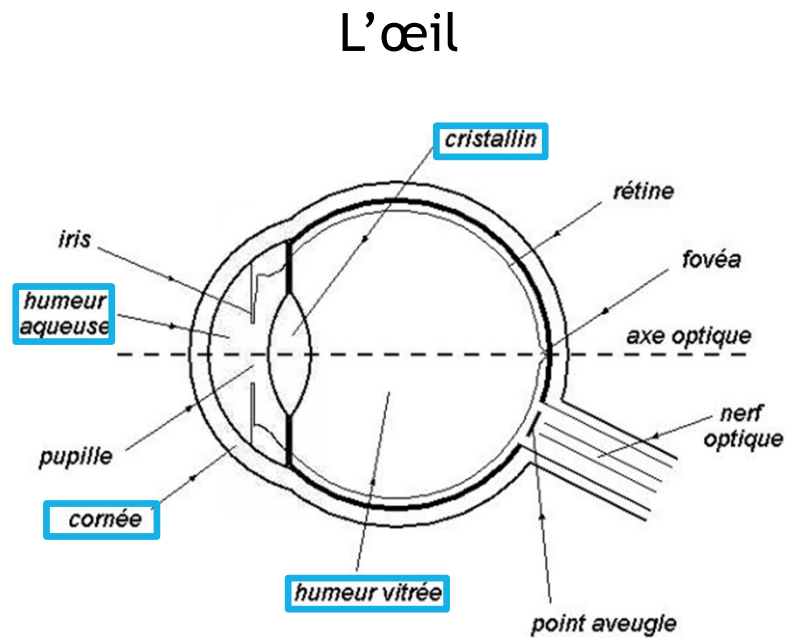
réel

Sommaire

- I. Introduction
- II. Mise en évidence de la déformation d'un front d'onde par les inhomogénéités
 - a) Expérience
 - b) Simulation
- III. Mesure de la déformation d'un front d'onde avec la méthode inspirée de Shack-Hartmann
 - a) Expérience
 - b) Données obtenues
- IV. Traitement informatique du front d'onde reçu
 - a) Détermination du front d'onde aux points d'échantillonnage
 - b) Interpolation de Lagrange
 - c) Caractérisation de la déformation du front d'onde obtenu

I. Introduction

a) Présentation générale



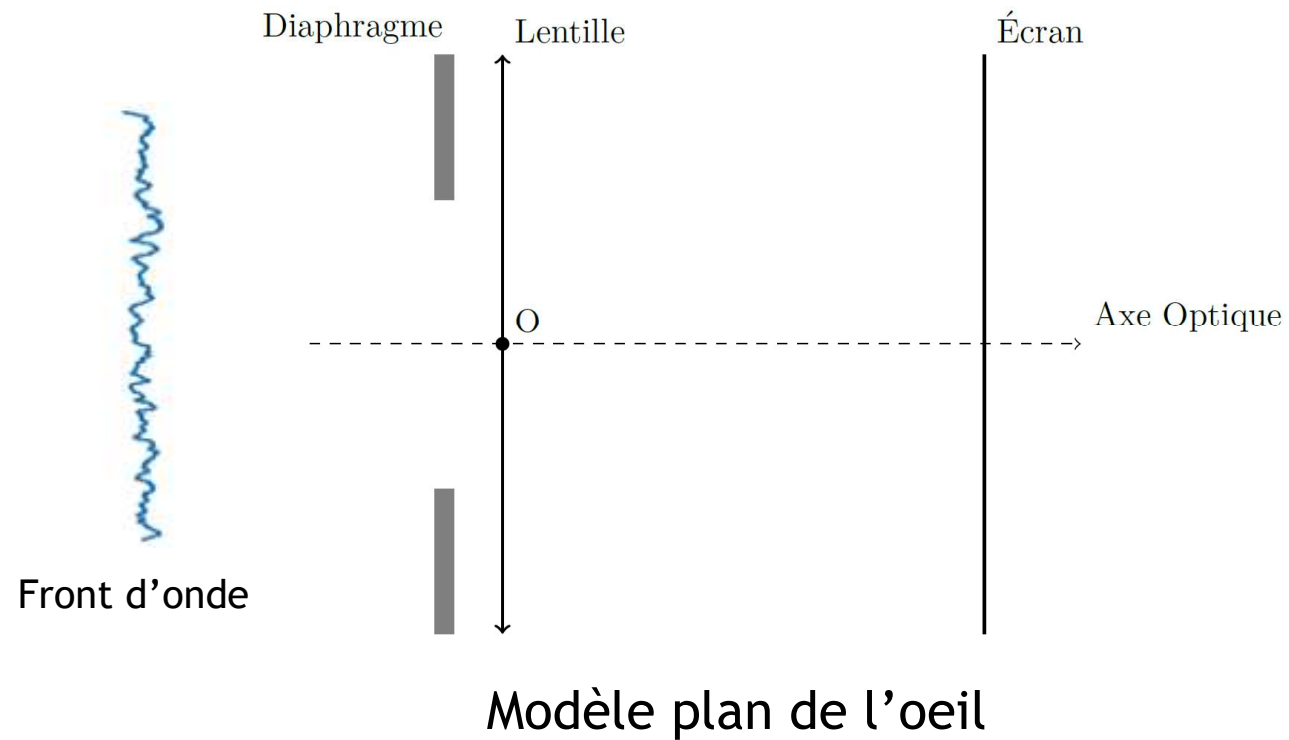
Source : maxicours.com

Quelques origines
des défauts :

- Cristallin
- Humeurs

I. Introduction

b) Modélisation de l'œil



I. Introduction

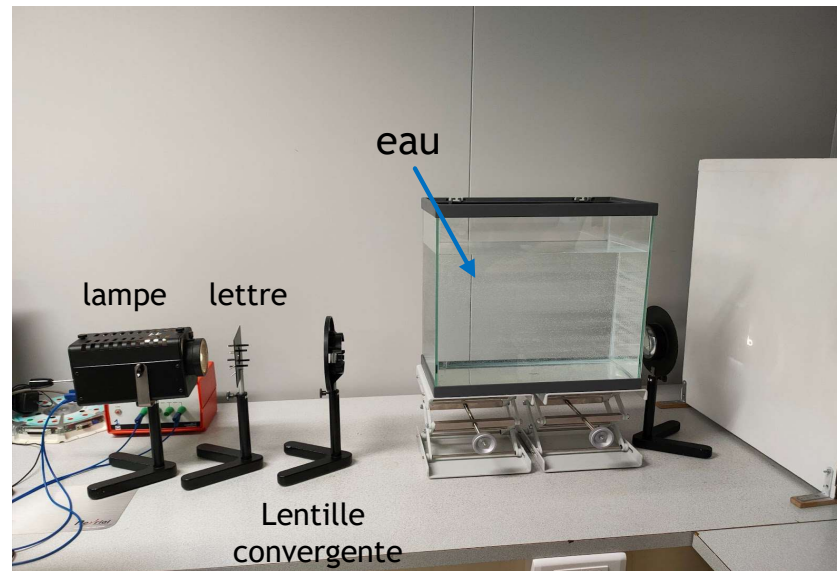
c) Différents défauts de l'œil

Défauts classiques	Défauts de haut degré
<ul style="list-style-type: none">- Myopie- Hypermétropie- Astigmatisme- Presbytie...	<ul style="list-style-type: none">- Inhomogénéités dans les humeurs- Défauts du cristallin (Cornée déformée)

II. Mise en évidence de la déformation d'un front d'onde par les inhomogénéités

a) Expérience

Montage



II. Mise en évidence de la déformation d'un front d'onde par les inhomogénéités

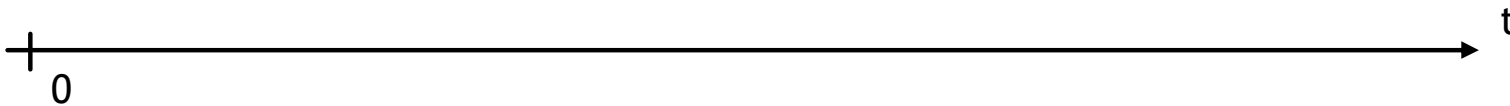
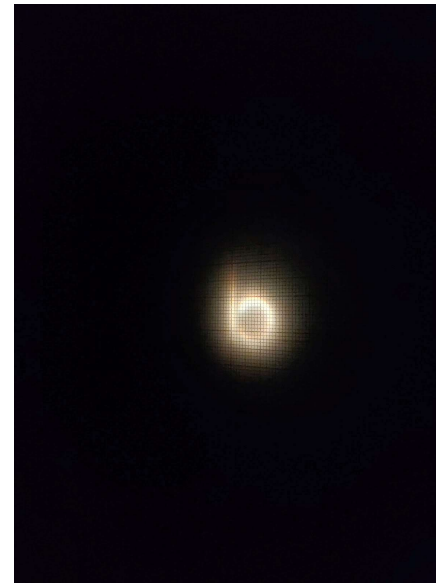
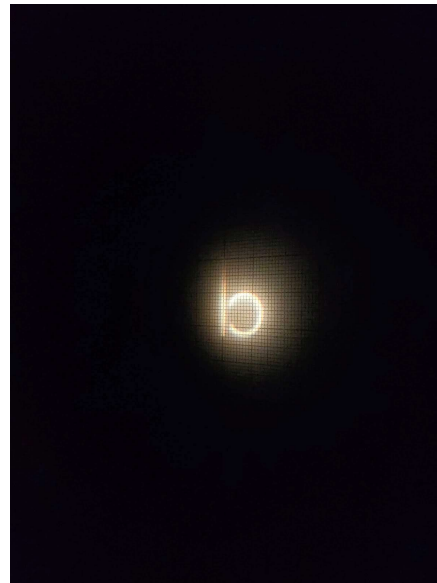
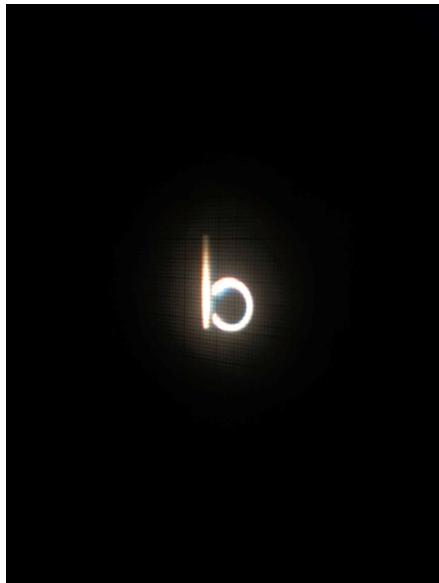
a) Expérience

À $t=0$: Ajout d'eau concentrée en sucre



Milieu Hétérogène

Image observée :



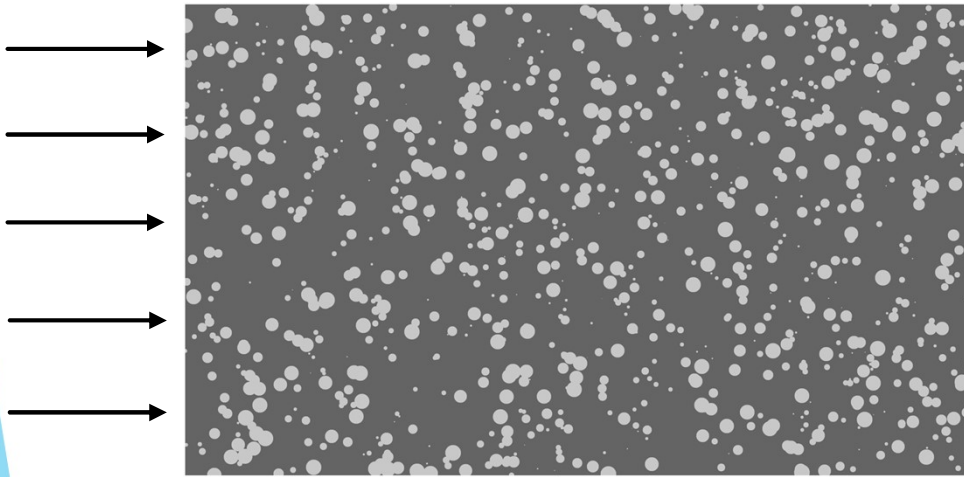
Deux phénomènes entrent en jeu ici :

- La réfraction
- La différence de temps de parcours

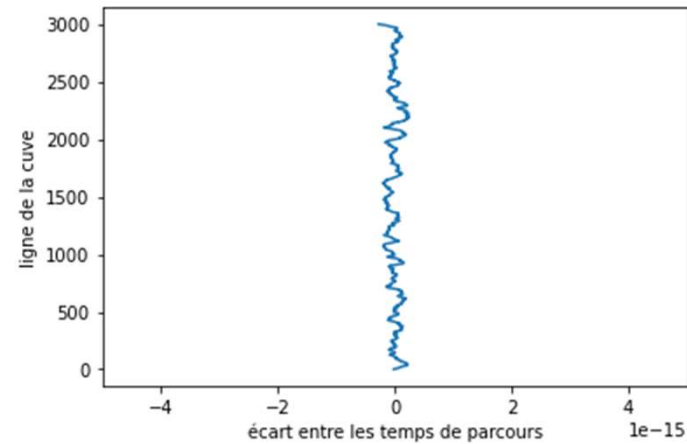
II. Mise en évidence de la déformation du front d'onde par les inhomogénéités

b) Simulation : estimation du temps de parcours

Lumière en phase



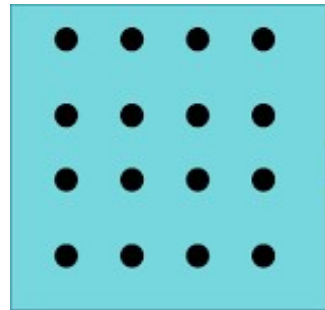
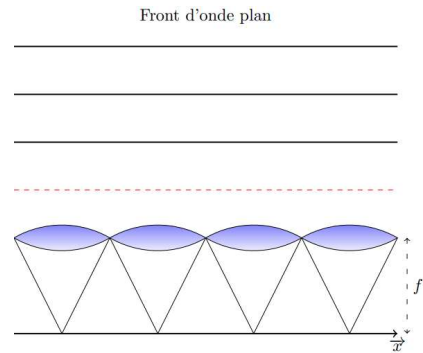
Simulation des inhomogénéités



Front d'onde après traversée de la cuve
(décalage en fonction du temps)

III. Mesure de la déformation d'un front d'onde avec la méthode inspirée de Shack-Hartmann

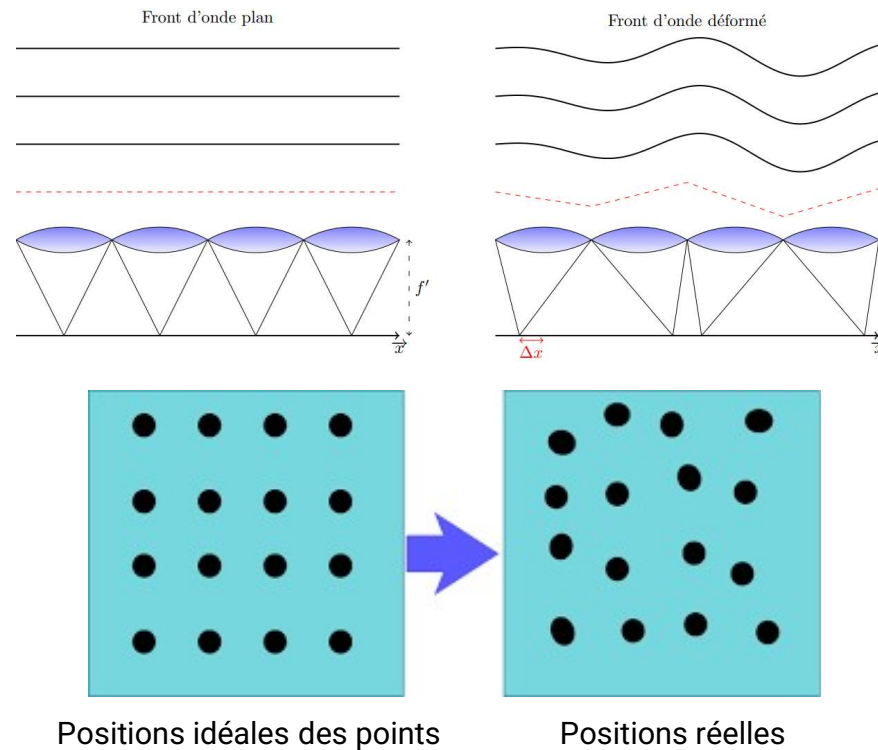
La méthode Shack-Hartmann



Positions idéales des points

III. Mesure de la déformation d'un front d'onde avec la méthode inspirée de Shack-Hartmann

La méthode Shack-Hartmann



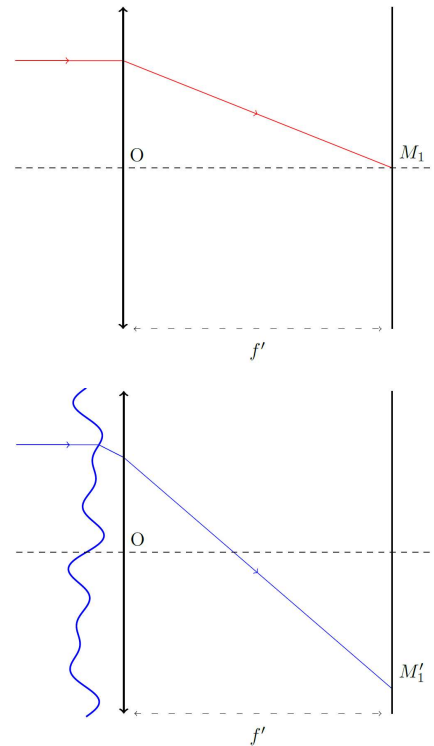
III. Mesure de la déformation d'un front d'onde avec la méthode inspirée de Shack-Hartmann

a) Expérience



Observation :

Le Rayon est dévié par le plastique par rapport à une trajectoire idéale



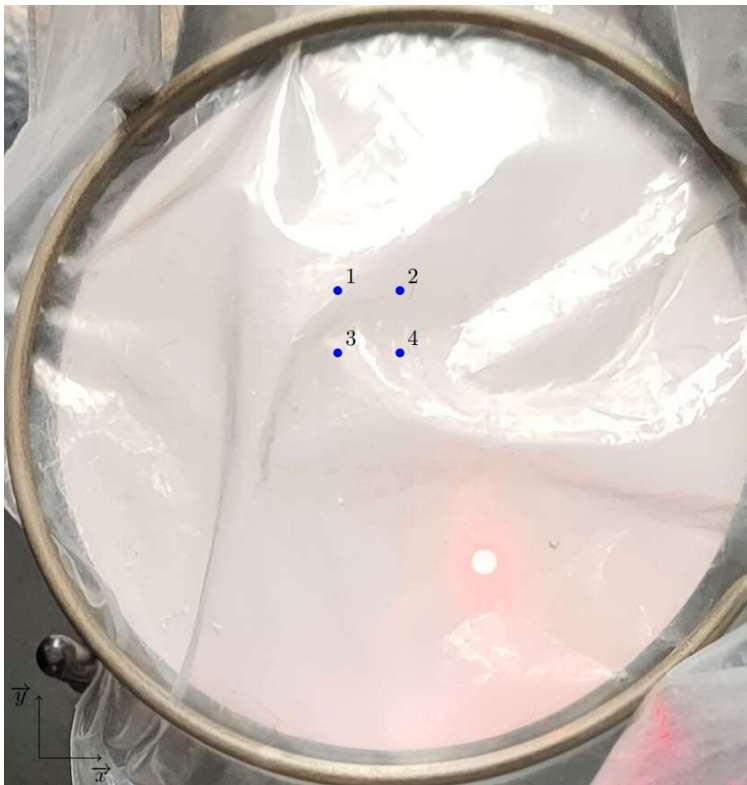
Montage :

- Laser
- Lentille convergente
- Plastique : surface déformée

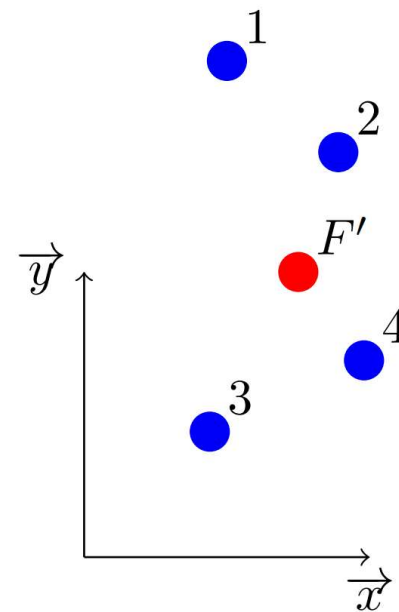
III. Mesure de la déformation d'un front d'onde avec la méthode inspirée de Shack-Hartmann

b) Données obtenues

Rayons arrivant sur la lentille



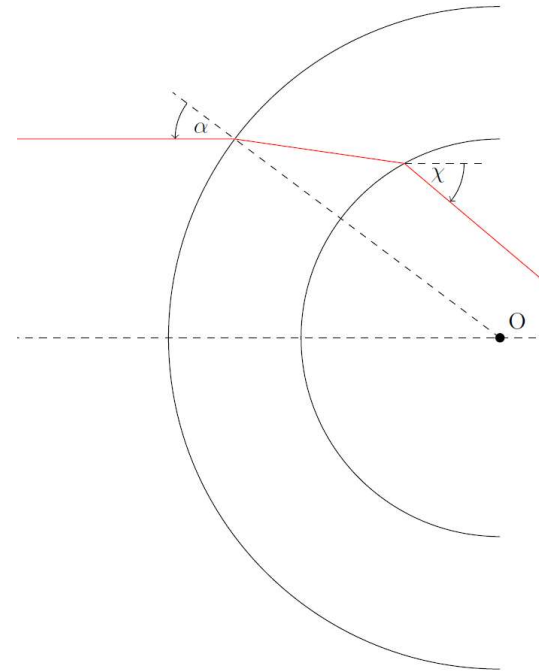
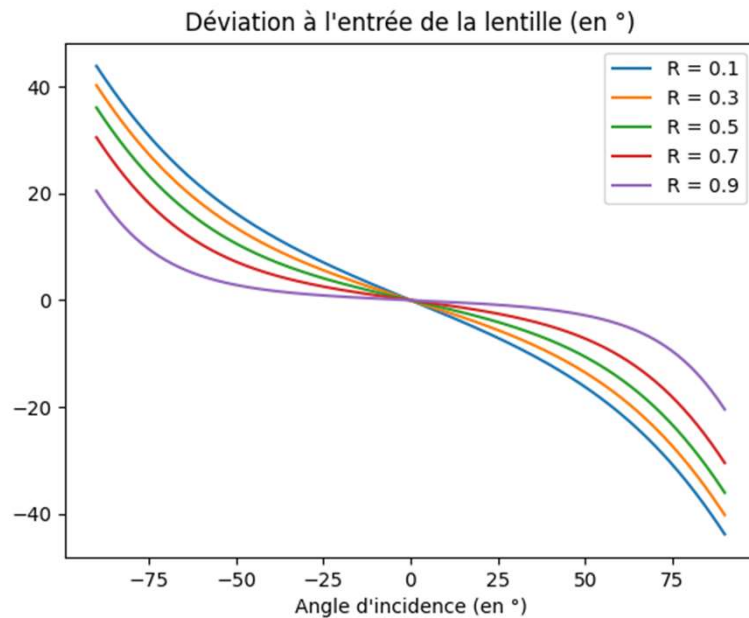
Rayons arrivant dans le plan focal image



b) Données obtenues

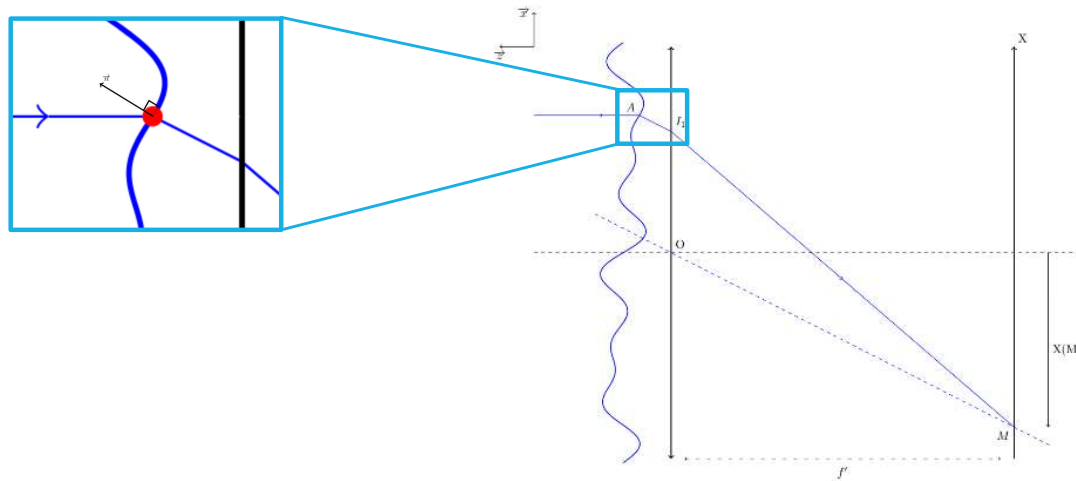
Modélisation de la déviation du faisceau

On assimile localement le pochon à deux sphères concentriques de rayon différent



IV. Traitement informatique du front d'onde reçu

a) Détermination du front d'onde aux points d'échantillonnage

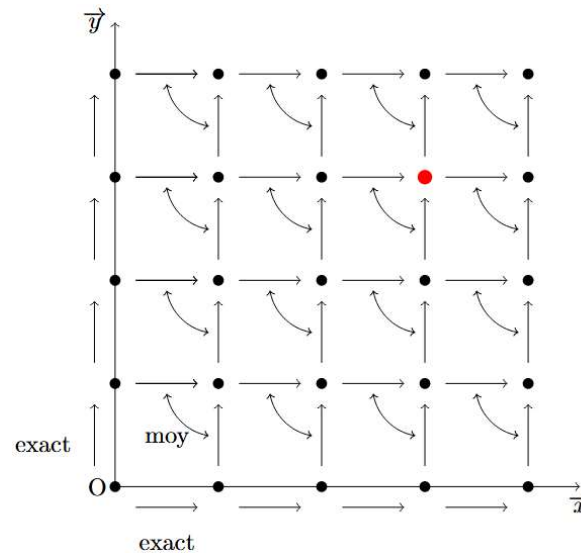


Détermination de la pente de la surface :

$$\frac{\partial z}{\partial x} = \frac{-X(M)}{f'} \quad \frac{\partial z}{\partial y} = \frac{-Y(M)}{f'}$$

IV. Traitement informatique du front d'onde reçu

a) Détermination du front d'onde aux points d'échantillonnage



$$\forall (i, j) \in \llbracket 1, n-1 \rrbracket^2, z(i, j) = \frac{1}{2} \left[z(i-1, j) + \frac{\partial z}{\partial x}(i-1, j) \delta x + z(i, j-1) + \frac{\partial z}{\partial y}(i, j-1) \delta y \right]$$

IV. Traitement informatique du front d'onde reçu

b) Interpolation de Lagrange

$$Z(X, Y) = \sum_{i=0}^n \sum_{j=0}^m z_{i,j} L_i^x(X) L_j^y(Y)$$

$$L_i^x(X) = \prod_{\substack{k=1 \\ k \neq i}}^n \frac{X - x_k}{x_i - x_k}$$

Interpolateur selon x

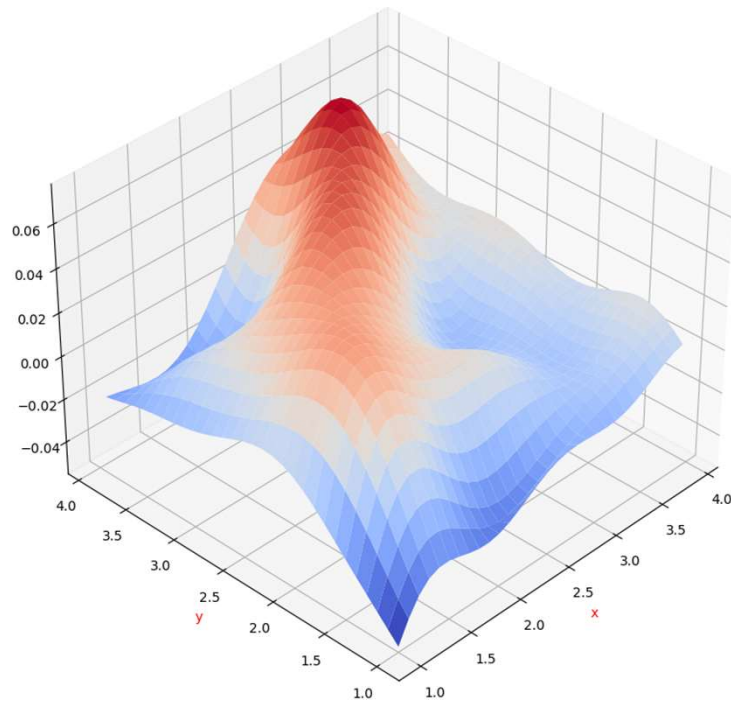
$$L_j^y(Y) = \prod_{\substack{k=1 \\ k \neq j}}^n \frac{Y - y_k}{y_j - y_k}$$

Interpolateur selon y

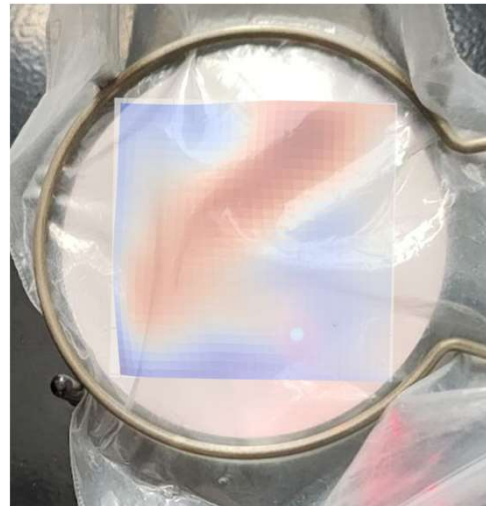
IV. Traitement informatique du front d'onde reçu

b) Interpolation de Lagrange

Reconstitution du front d'onde



Le front d'onde
interpolé
« ressemble » au
pochon



IV. Traitement informatique du front d'onde reçu

c) Caractérisation de la déformation du front d'onde obtenu

Les polynômes de Zernike sont une base des fonctions polynomiales de \mathcal{D} dans \mathbb{R} , elles mêmes denses dans $\mathcal{C}^0(\mathcal{D}, \mathbb{R})$ où $\mathcal{D} = \{(x, y) \in \mathbb{R}^2, x^2 + y^2 \leq 1\}$

Polynômes de Zernike d'ordre n

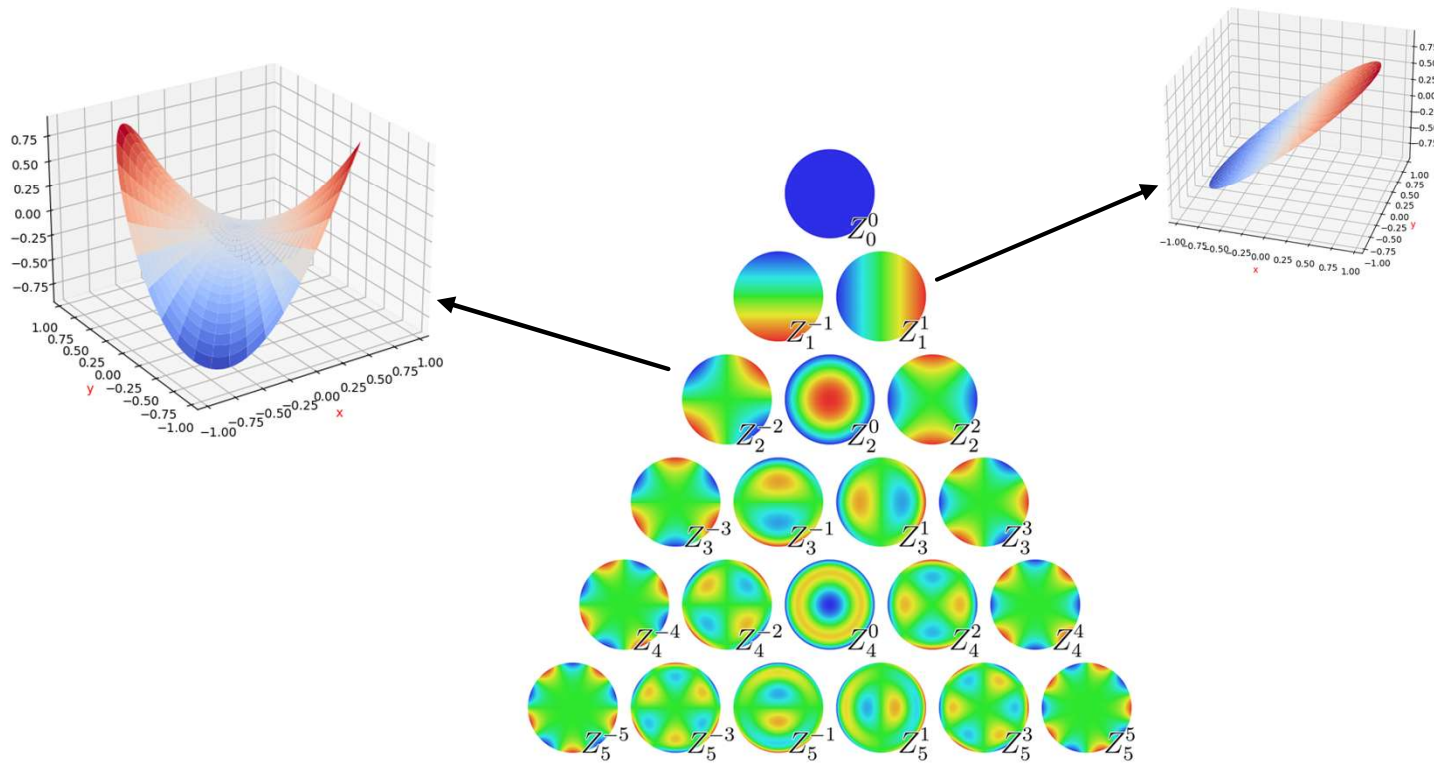
$$Z_n^m(\rho, \theta) = \begin{cases} R_n^m(\rho) \times \cos(m\theta) & m \geq 0 \\ R_n^m(\rho) \times \sin(m\theta) & m < 0 \end{cases} \quad R_n^m(\rho) = \sum_{k=0}^{\frac{n-m}{2}} \frac{(-1)^k (n-k)!}{k! (\frac{n+m}{2} - k)! (\frac{n-m}{2} - k)!} \rho^{n-2k}$$

m = nombre de méridiens affectés
n = ordre du polynôme

IV. Traitement informatique du front d'onde reçu

c) Caractérisation de la déformation du front d'onde obtenu

Les polynômes de Zernike en physique



Source : Pinterest.com

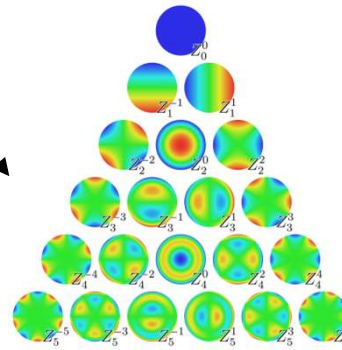
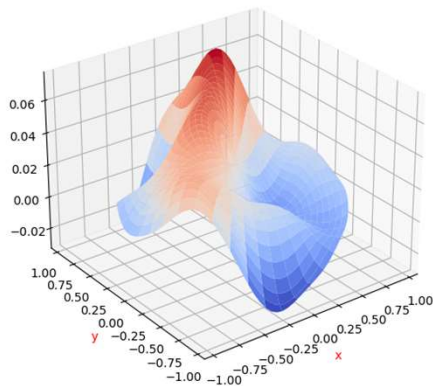
IV. Traitement informatique du front d'onde reçu

c) Caractérisation de la déformation du front d'onde obtenu

Décomposition de la déformation du front d'onde sur la base de Zernike

Produit scalaire

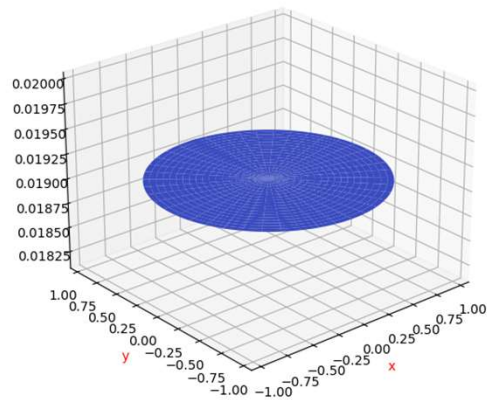
$$\langle f_1, f_2 \rangle = \frac{1}{\pi} \iint_D f_1(\rho, \Phi) f_2(\rho, \Phi) \rho d\rho d\Phi$$



IV. Traitement informatique du front d'onde reçu

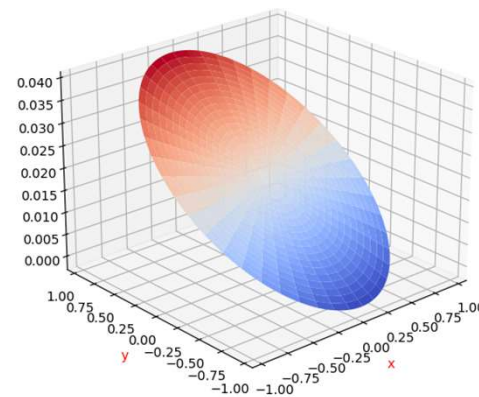
c) Caractérisation de la déformation du front d'onde obtenu

Résultat obtenu après projection : ordres 0 et 1



Ordre 0

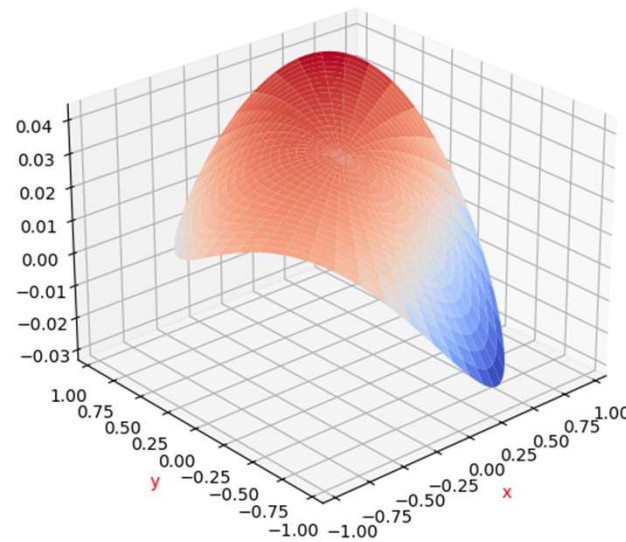
Ordre 1



IV. Traitement informatique du front d'onde reçu

c) Caractérisation de la déformation du front d'onde obtenu

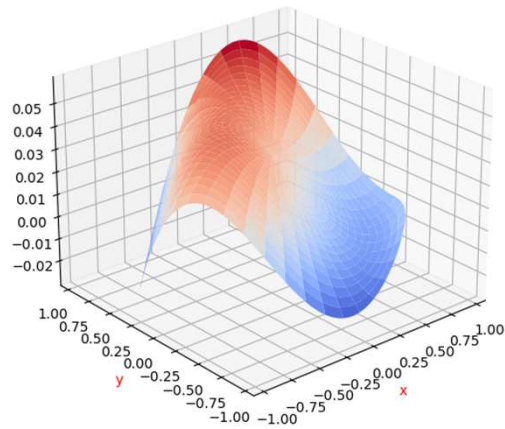
Résultat obtenu après projection : ordre 2



IV. Traitement informatique du front d'onde reçu

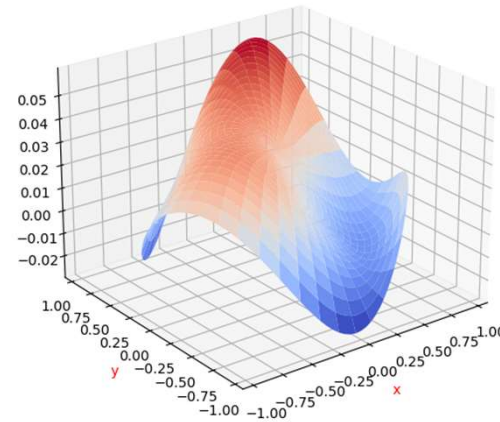
c) Caractérisation de la déformation du front d'onde obtenu

Résultat obtenu après projection : ordres 3 et 4



Ordre 3

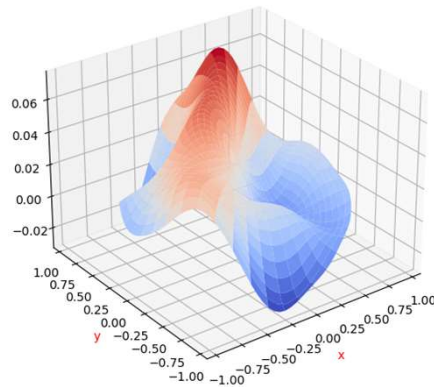
Ordre 4



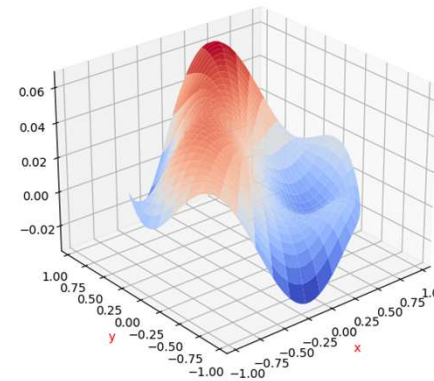
IV. Traitement informatique du front d'onde reçu

c) Caractérisation de la déformation du front d'onde obtenu

Projection sur la base des Polynômes de Zernike

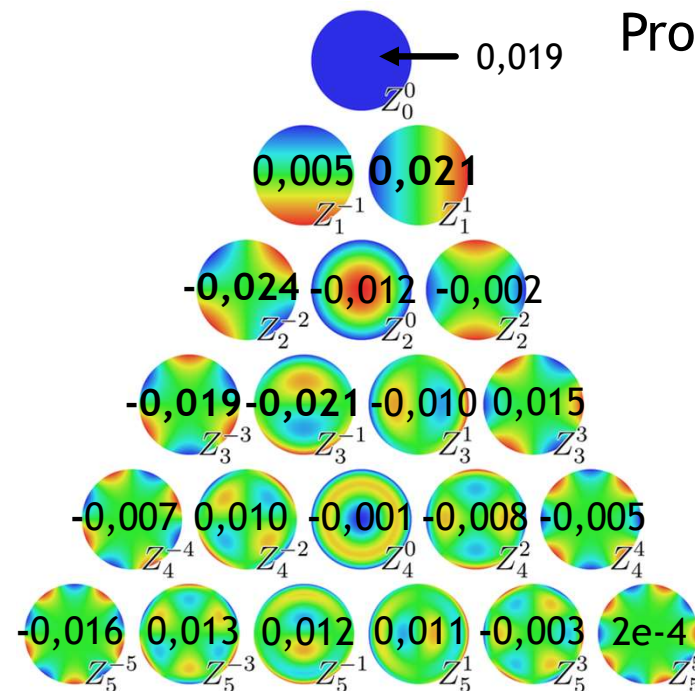


Réel



Projeté jusqu'à l'ordre 5

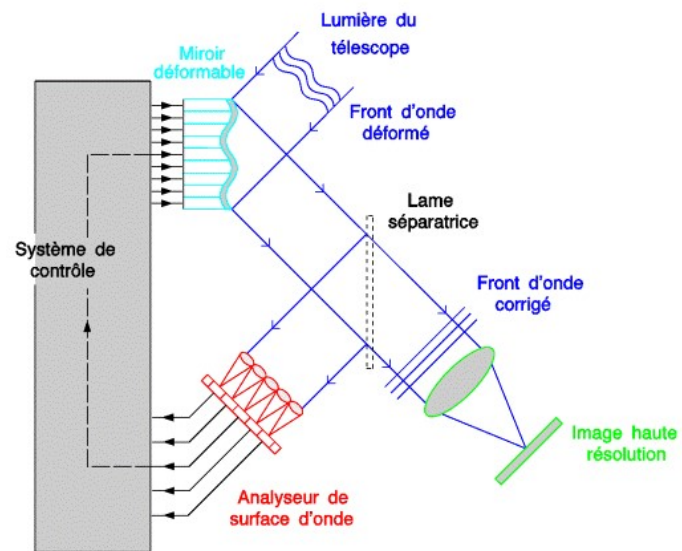
Résultats



Conclusion

Mesure précise des défauts :

⇒ Elaboration d'une correction OU changement de la position du rayon



Source : media4.obspm.fr

Annexes

The background of the slide features abstract, overlapping geometric shapes in various shades of blue, ranging from light sky blue to deep navy blue. These shapes are primarily located on the right side and bottom, creating a modern, dynamic feel. The word "Annexes" is centered in a clean, blue, sans-serif font.

Preuve pour la remontée à la surface

Théorème de Malus :

Les rayons lumineux sont perpendiculaires aux surfaces d'ondes.

Ainsi, en utilisant le théorème de Malus à l'entrée de la lentille, on en déduit que $\overrightarrow{AI_1}$ est un vecteur normal à la surface d'onde.

Or par construction $\overrightarrow{AI_1} // \overrightarrow{OM}$

De plus, $\overrightarrow{OM} = X(M)\vec{u}_x + Y(M)\vec{u}_y - f'\vec{u}_z$

On en déduit donc \vec{n} vecteur normal unitaire à la surface d'onde au point de mesure A par

$$\vec{n} = \frac{X(M)\vec{u}_x + Y(M)\vec{u}_y - f'\vec{u}_z}{\sqrt{X(M)^2 + Y(M)^2 + f'^2}}$$

Où $X(M), Y(M)$ et f' sont connus grâce à l'expérience

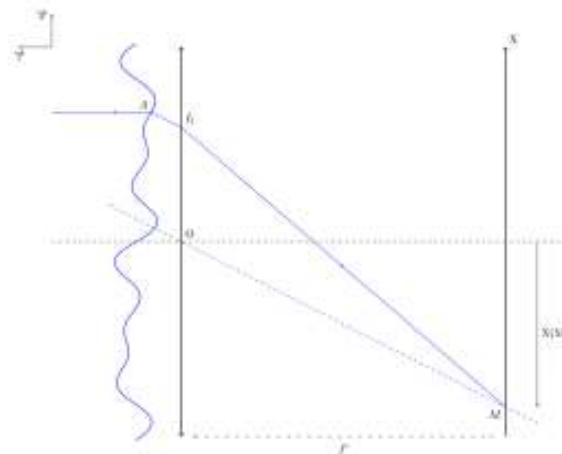


Figure 8: Schéma en vue de coupe selon (xOz)

Soit $h : x \mapsto f(x, y_0)$ alors l'expression de la tangente en x_0 de h est

$$T_{x_0} : z = h'(x_0)(x - x_0) + h(x_0) = \frac{\partial z}{\partial x}(M)(x - x_0) + z(M)$$

Ainsi un vecteur directeur de T_{x_0} est : $\vec{T}_{x_0} = \vec{u}_x + \frac{\partial z}{\partial x}(M)\vec{u}_z$

De même selon \vec{u}_y on obtient : $\vec{T}_{y_0} = \vec{u}_y + \frac{\partial z}{\partial y}(M)\vec{u}_z$

Les connaissances d'une part du vecteur normal et d'autre part des vecteurs tangents à la surface selon \vec{u}_x et \vec{u}_y nous permettent de trouver les relations entre les dérivées partielles de $z, X(M)$ et $Y(M)$.

$$\vec{n} = \frac{X(M)\vec{u}_x + Y(M)\vec{u}_y - f'\vec{u}_z}{\sqrt{X(M)^2 + Y(M)^2 + f'^2}} = \alpha\vec{u}_x + \beta\vec{u}_y + \gamma\vec{u}_z$$

$$\vec{T}_x = \frac{\vec{T}_{x_0}}{\|\vec{T}_{x_0}\|}, \quad \vec{T}_y = \frac{\vec{T}_{y_0}}{\|\vec{T}_{y_0}\|}$$

En exploitant le fait que $\vec{n} \cdot \vec{T}_x = 0$ on obtient : $\frac{\partial z}{\partial x}(M) = -\frac{\alpha}{\gamma} = \frac{X(M)}{f'}$

De même avec $\vec{n} \cdot \vec{T}_y = 0$ on obtient : $\frac{\partial z}{\partial y}(M) = -\frac{\beta}{\gamma} = \frac{Y(M)}{f'}$

Preuve pour la remontée à la surface

Il nous faut maintenant reconstituer à partir de la connaissance des dérivées partielles de $z(x, y)$. Tout d'abord, ce qui nous intéresse est la position relative des points dans l'espace ; ainsi, sans pertes de généralités, nous pouvons fixer le point $z(0, 0) = 0$.

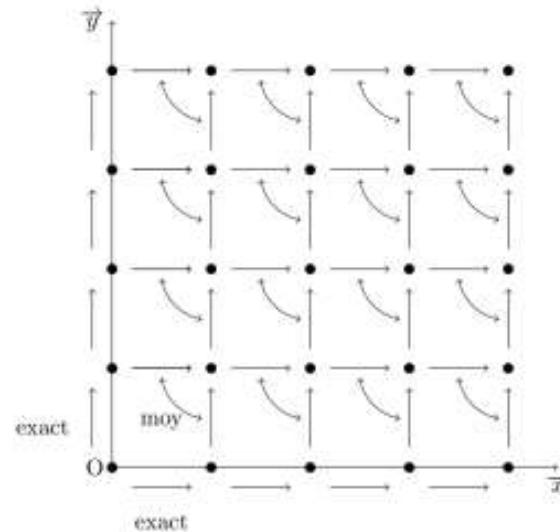


Figure 9: Méthode pour reconstituer la surface

Nous avons élaboré la méthode suivante pour reconstituer la surface d'onde :

1. Calculer à l'aide d'un développement limité à l'ordre 1 les points sur Ox et Oy
2. Calculer les autres points à l'aide d'une moyenne des points situés à gauche et en-dessous

Ainsi, pour un maillage de taille $n \times n$ on a:

1. $z(0, 0) = 0$
 Sur Ox : $\forall i \in [1, n-1], z(i, 0) = z(i-1, 0) + \frac{\partial z}{\partial x}(i-1, 0)\delta x$
 Sur Oy : $\forall j \in [1, n-1], z(0, j) = z(0, j-1) + \frac{\partial z}{\partial y}(0, j-1)\delta y$
2. $\forall (i, j) \in [1, n-1]^2, z(i, j) = \frac{1}{2} \left[z(i-1, j) + \frac{\partial z}{\partial x}(i-1, j)\delta x + z(i, j-1) + \frac{\partial z}{\partial y}(i, j-1)\delta y \right]$

Nous obtenons ainsi un nuage de points qui correspond à une version discrète de la surface d'onde (mettre nuage de points)

Simulation cuve

```
import numpy as np
from PIL import Image
from pylab import *
import matplotlib.pyplot as plt

def tableau(i,j):
    return [[4.44*10**(-13) for a in range(j)] for k in range(i)],[[100 for a in
range(j)] for k in range(i)]
# 4.44*10**(-13) représente le temps de parcours de la case

def dimtab2D(t):
    return len(t), len(t[0])

def bulle(t1,t2): #fonction qui crée une bulle dans la cuve , modifie 2 tableaux un
pour le trajet, l'autre pour l'affichage
    i,j=dimtab2D(t1)
    r=randint(1,50) # rayon de la bulle
    (a,b)=(randint(0,i),randint(0,j)) # place de la bulle
    for p in range(-r,r+1):
        for w in range(-r,r+1):
            if floor(sqrt(p**2+w**2))<=r and -1<a-p<i and -1<b-w<j: #on regarde qu'on
est bien à une distance r du centre
                t1[a-p][b-w]=4.92*10**(-13) # on modifie la valeur du temps de parcours
                t2[a-p][b-w]=200

t1,t2=tableau(3000,5000)
for i in range(1000):
    bulle(t1,t2)

def somme(t,i):
    # somme la ième ligne de t
    s = 0
    for p in t[i]:
        s=s+p
    return s

def moyenne(L):
    s=0
    for i in L:
        s=s+i
    return(s/len(L))

def simulation(t):
    L=[]
    A=[]
    for i in range(len(t)):
        A=A+[i]
    A=np.array(A)
    A=len(t)-A
    print(A) # on définit le nombre de lignes sur lesquelles on va travailler
    for i in range(len(t)):
        L=L+[somme(t,i)/100] # on incorpore dans L la durée de parcours de chaque ligne
    print(moyenne(L))
    return (np.array(L)-moyenne(L))/1000,A

X,Y=simulation(t1)
plt.close()
plt.plot(X,Y)
plt.xlim(-5e-15,5e-15)

plt.ylabel('ligne de la cuve')
plt.xlabel('écart entre les temps de parcours')
plt.show()

a=np.array(t2)
image = Image.fromarray(a)
image.show()
```

Déviati on

```
import matplotlib.pyplot as plt
import numpy as np

N=0.7
x=np.linspace(-np.pi/2,np.pi/2,1000)

## Double dioptre concave vers la droite

for i in range(1,10,2):
    R=i*10**(-1)
    y=(np.arcsin(N*np.sin(x))+np.arcsin(R*np.sin(x))-np.arcsin(N*R*np.sin(x))-
x)*(180/np.pi)
    plt.plot(x*180/np.pi,y,label = f'R = {R:.2}')
    plt.legend()

plt.title("Déviation à l'entrée de la lentille (en °)")
plt.xlabel("Angle d'incidence (en °)")
plt.show()
```

Polynômes

```

import copy
p1=[[1,2,3],[0,3],[0,3,4,0,0]]
p2=[[2,3],[0,2,0]]

#fonctions à 1 variable utiles
def normalize1v (pol1):
    s=copy.deepcopy (pol1)
    while s[-1]==0 and len(s)>1:
        s.pop(len(s)-1)
    return s

def somme1v (pol1,pol2):
    p=copy.deepcopy (pol1)
    q=copy.deepcopy(pol2)
    p1=normalize1v(p)
    q1=normalize1v(q)
    n,m=len(p1),len(q1)
    if n > m :
        s = p1
        for i in range (m) :
            s[i] += q[i]
    else :
        s = q1
        for i in range (n) :
            s[i] += p[i]
    return s

def mult_scal1v (pol,x):
    p=copy.deepcopy (pol)
    s=normalize1v(p)
    for i in range (len(s)):
        s[i] *= x
    return s

def mult_monom1v (pol,x,i):
    """Multiplie le polynôme par X^i"""
    p=copy.deepcopy (pol)
    m=mult_scal1v (p,x)
    s=[0]*i
    return s+m

def mult1v (pol1,pol2):
    p=copy.deepcopy (pol1)
    q=copy.deepcopy (pol2)
    p1,q1=normalize1v(p),normalize1v(q)
    m=[0]
    for i in range (len(p1)):
        s=mult_monom1v(q1,p1[i],i)
        m=somme1v(m,s)
    return normalize1v(m)

#polynome 2 variables
def normalize2v (pol):
    p=copy.deepcopy(pol)
    n=len(p)
    for i in range (n):
        p[i]=normalize1v(p[i])
    while p != [[0]] and p[-1] == [0]:
        p.pop(-1)
    m=len(p[0])

n=len(p)
for k in range (n):
    m=max (m, len(p[k]))
for i in range (n):
    l=len(p[i])
    while l<m:
        p[i].append(0)
    l=len(p[i])
return p

def somme2v (pol1,pol2):
    p=copy.deepcopy(pol1)
    q=copy.deepcopy(pol2)
    n=len(p)
    m=len(q)
    if n<m :
        s=copy.deepcopy(q)
        for i in range (n):
            s[i]=somme1v(p[i],q[i])
    else:
        s=copy.deepcopy(p)
        for i in range (m):
            s[i]=somme1v(p[i],q[i])
    return normalize2v(s)

def mult_scal2v (pol,x):
    p=copy.deepcopy (pol)
    s=normalize2v(p)
    for i in range (len(s)):
        for j in range (len(s[0])):
            s[i][j] *= x
    return s

def mult_monom2v (pol,x,i,j):
    p=copy.deepcopy (pol)
    s=mult_scal2v(p,x)
    n=len(s)
    m=len(s[0])
    z1=[0]*j
    for k in range (n):
        s[k]=z1+s[k]
    z2=[[0]*(m+j)]*i
    return z2+s

#rajoute à chaque sous liste autant de zéro

#decale le degré du polynome en X

def mult2v (pol1,pol2):
    p1=copy.deepcopy(pol1)
    p2=copy.deepcopy(pol2)
    s1,s2=normalize2v(p1),normalize2v(p2)
    n,m = len(s1),len(s1[0])
    f=[[0]]
    for i in range (n):
        for j in range (m):
            f=somme2v(f,mult_monom2v(s2, s1[i][j], i, j))
    return f

##Lagrange 2 variables
def lagrangeY (l,i):
    L=[1]
    for j in range (len(l)):
        if j==i:
            L=L
        else:
            L=mult1v(L,[-1[j]/(1[i]-1[j]),1/(1[i]-1[j])])
    return L

def lagrangeX (l,i):
    L=[1]
    for j in range (len(l)):
        if j==i:
            L=L
        else:
            L=mult2v(L,[-1[j]/(1[i]-1[j])],[1/(1[i]-1[j])])
    return L

def interpole2v (lx,ly,t):
    Lx=[]
    Ly=[]
    n=len(lx)
    m=len(ly)
    inter=[[0]]
    for k in range (n):
        Lx.append(lagrangeX(lx,k)) # Calcul des Lagrangiens selon x
    for l in range (m):
        Ly.append([lagrangeY(ly,l)]) # Calcul des Lagrangiens selon y
    for i in range (n):
        for j in range (m):
            inter=somme2v(inter,mult_scal2v(mult2v(Lx[i],Ly[j]),t[i][j])) # Somme pour
chaque point
    return inter

```


Représentation plan

```

from Polynomes import *
import matplotlib.pyplot as plt
import numpy as np
from mpl_toolkits.mplot3d import Axes3D
from matplotlib import cm
import math

def calc_z_coin (t,f, pasx,pasy) :
    m = len(t)
    n = len(t[0])
    Z = [[0 for _ in range (n)] for _ in range (m)]
    for i in range (1,n):
        X,Y = t[0][i-1]
        Z[0][i]=Z[0][i-1]-X/f*pasx
    for i in range (1,m):
        X,Y = t[i-1][0]
        Z[i][0]=Z[i-1][0]-Y/f*pasy
    for i in range (1,m):
        for j in range (1,n):
            X1, Y1 = t[i][j-1]
            X2, Y2 = t[i-1][j]
            Z[i][j] = 0.5*(Z[i][j-1]-X1/f*pasx + Z[i-1][j]-Y2/f*pasy)
    return Z

def calc_z_centre (t,f, pasx,pasy) :
    m = len(t)
    n = len(t[0])
    Z = [[0 for _ in range (n)] for _ in range (m)]
    if m % 2 == 0 :
        m1=m//2
    else:
        m1=m//2 + 1
    if n%2 == 0:
        n1=n//2
    else :
        n1=n//2 + 1
    for i in range (n1,n):
        X,Y = t[m1][i-1]
        Z[m1][i]=Z[m1][i-1]-X/f*pasx
    for i in range (n1-1,-1,-1):
        X,Y = t[m1][i+1]
        Z[m1][i]=Z[m1][i+1]+X/f*pasx
    for i in range (m1,m):
        X,Y = t[i-1][n1]
        Z[i][n1]=Z[i-1][n1]-Y/f*pasy
    for i in range (m1,-1,-1):
        X,Y = t[i+1][n1]
        Z[i][n1]=Z[i+1][n1]+Y/f*pasy
    for i in range (m1,m):
        for j in range (n1,n):
            X1,Y1=t[i][j-1]
            X2, Y2 = t[i-1][j]
            Z[i][j] = 0.5*(Z[i][j-1]-X1/f*pasx + Z[i-1][j]-Y2/f*pasy)
    for i in range (m1,m):
        for j in range (n1-1,-1,-1):
            X1,Y1=t[i][j+1]
            X2, Y2 = t[i-1][j]
            Z[i][j] = 0.5*(Z[i][j+1]+X1/f*pasx + Z[i-1][j]-Y2/f*pasy)
    for i in range (m1-1,-1,-1):

```

```

        for j in range (n1,n):
            X1,Y1=t[i][j-1]
            X2, Y2 = t[i+1][j]
            Z[i][j] = 0.5*(Z[i][j-1]-X1/f*pasx + Z[i+1][j]+Y2/f*pasy)
    for i in range (m1-1,-1,-1):
        for j in range (n1-1,-1,-1):
            X1,Y1=t[i][j+1]
            X2, Y2 = t[i+1][j]
            Z[i][j] = 0.5*(Z[i][j+1]+X1/f*pasx + Z[i+1][j]+Y2/f*pasy)
    return Z

t=[[(0,0),(-1,-1),(0,1),(-1,1),(-1,0),(1,1),(-1,0),(-1,1),(-1,0),(-1,1),(-1,1),(-1,2),
(0,0)],
[(2,1),(1,1),(0,0),(-1,0),(-2,0),(-1,0),(0,0),(0,0),(0,-1),(-1,1),(-1,1),(-2,1),(-2,
1)],
[(1,0),(0,0),(0,1),(-2,0),(-2,-1),(-1,2),(0,1),(0,0),(-1,1),(0,-1),(0,1),(-1,1),(-1,
3)],
[(1,0),(0,0),(0,0),(-2,-1),(0,-1),(1,-1),(0,-1),(0,-1),(0,0),(0,-1),(-2,-1),(-1,0),
(-1,0)],
[(2,0),(0,-1),(0,0),(-2,0),(-1,0),(0,0),(1,0),(1,0),(-1,-2),(0,0),(0,0),(-1,-1),(-1,
0)],
[(1,0),(0,0),(1,0),(-1,0),(0,0),(0,0),(0,0),(0,-1),(0,0),(0,0),(2,0),(-1,1),(-1,-
1)],
[(1,0),(0,0),(2,0),(-1,0),(0,0),(0,0),(-2,2),(0,0),(0,0),(-1,0),(-1,1),(0,0),(-1,-
1)],
[(2,-2),(0,0),(1,-1),(0,-1),(0,0),(0,0),(0,0),(0,0),(-1,0),(0,0),(0,-1),(-2,0),(-1,-
1)],
[(1,-1),(-1,1),(1,0),(-1,0),(0,0),(0,0),(0,-1),(0,0),(0,0),(0,0),(-1,0),(-1,-1),(-2,
-1)],
[(0,0),(1,-1),(-1,0),(2,0),(0,0),(0,-1),(0,0),(0,0),(0,0),(0,-1),(0,0),(0,0)],
[(0,0),(1,-1),(-1,0),(1,-2),(0,-1),(1,-1),(0,0),(0,-1),(0,-1),(-1,-1),(0,0),(0,0),
(0,0)]]

plan_z1=calc_z_centre(t,200,5,5)
n1=len(plan_z1[0])
m1=len(plan_z1)
lx=[i*0.5 for i in range (m1)]
ly=[j*0.5 for j in range (n1)]

z1=interpolate2v(lx,ly,plan_z1)

def plan1 (x,y):
    val=0
    n=len(z1)
    m=len(z1[0])
    for i in range (n):
        for j in range (m):
            val += x**i * y**j * z1[i][j]
    return val

def plan1_dec(x,y):
    return plan1(3/2*x+2.5,3/2*y+2.5)

def plan1_polaire_decale(rho,phi):
    return plan1(3/2*rho*math.sin(phi)+2.5,3/2*rho*math.cos(phi)+2.5)

def plan2 (x,y):
    val=0

```

Représentation plan

```
n=len(z2)
m=len(z2[0])
for i in range (n):
    for j in range (m):
        val += x**i * y**j * z2[i][j]
    return val

ax = Axes3D(plt.figure())
plan1_dec = np.vectorize(plan1_dec)
R = np.arange(0,1,0.05)
Phi = np.arange(0,2*math.pi+0.1,0.05)
R,P = np.meshgrid(R, Phi)
X , Y = R*np.cos(P) , R*np.sin(P)
plan1_polaire_decale = np.vectorize(plan1_polaire_decale)
Z = plan1_dec(X, Y)
plt.xlabel('x',color = 'red')
plt.ylabel('y', color = 'red')
ax.plot_surface(X, Y, Z, cmap=cm.coolwarm)
plt.show()

plan_z2 = calc_z_centre(t, 200, 5, 5)
n2 = len(plan_z2[0])
m2 = len(plan_z2)
lx = [i * 0.5 for i in range(m2)]
ly = [j * 0.5 for j in range(n2)]

z2 = interpolate2v(lx, ly, plan_z2)

ax = Axes3D(plt.figure())
plan2=np.vectorize(plan2)
X = np.arange(1, 4, 0.1)
Y = np.arange(1, 4, 0.1)
X, Y = np.meshgrid(X, Y)
Z = plan2(X , Y)
ax.plot_surface(X, Y, Z,cmap = cm.coolwarm)
plt.show()
```

Zernike

```
import math

def Rmn(m,n,rho):
    R = 0
    if (n-abs(m)) % 2 == 0:
        for k in range((n-abs(m))//2+1):
            R += ((-1)**k*math.factorial(n-k)) /
            (math.factorial(k)*math.factorial((n+abs(m))/2-k)*math.factorial((n-abs(m))/2-
            k))*rho**(n-2*k)
        return R

def Zernike(rho,phi,m=None,n=None):
    if m==None:
        m = Zernike_xy.m
    else:
        Zernike_xy.m = m

    if n==None:
        n = Zernike_xy.n
    else:
        Zernike_xy.n = n
    if m >= 0 :
        return Rmn(m,n,rho)*math.cos(m*phi)
    else:
        return Rmn(m,n,rho)*math.sin(m*phi)

def Zernike_xy(x,y,m=None,n=None):
    if m==None:
        m = Zernike_xy.m
    else:
        Zernike_xy.m = m

    if n==None:
        n = Zernike_xy.n
    else:
        Zernike_xy.n = n
    return Zernike(math.sqrt(x*x+y*y),math.atan2(y,x),Zernike_xy.m,Zernike_xy.n)
```

Projection Zernike sur plusieurs ordres

```
from scipy.integrate import dblquad
from Zernike import *
from Représentation_plan import *

def ps(f,g,domaine_rho,domaine_phi):
    return dblquad(lambda rho, phi : 1/(math.pi)*f(rho,phi)*g(rho,phi)*rho,
domaine_phi[0], domaine_phi[1], lambda rho : domaine_rho[0],
lambda rho : domaine_rho[1], epsabs=1e-5, epsrel=1e-5)[0]

plan_z1=calc_z_centre(t,200,5,5)
lx=[i*0.5 for i in range (m1)]
ly=[j*0.5 for j in range (n1)]

for i in range (6):

    z1=interpole2v(lx,ly,plan_z1)
    projection_zernike = []
    for n in range(i+1):
        pr = []
        for m in range(-n,n+1,2):
            Zernike_xy(0,0,m,n) #Calcul du polynômes Z(n,m)
            prod = ps(Zernike,plan1_polaire_decale,[0,1],[0,2*math.pi])/ps(Zernike,
Zernike,[0,1],[0,2*math.pi]) #Porjection du front d'onde sur Z(n,m)
            pr.append(prod)
        projection_zernike.append(pr)

def resultat(x,y):
    res = 0
    for n in range(i+1):
        k = 0
        for m in range(-n,n+1,2):
            Zernike_xy.n, Zernike_xy.m = n,m
            res += (projection_zernike[n][k])*Zernike_xy(x,y)
            k += 1
    return res

ax = Axes3D(plt.figure())
resultat = np.vectorize(resultat)
R = np.arange(0,1,0.05)
Phi = np.arange(0,2*math.pi+0.1,0.05)
R,P = np.meshgrid(R, Phi)
X , Y = R*np.cos(P) , R*np.sin(P)
Z = resultat(X,Y)
ax.plot_surface(Y, X, Z, cmap=cm.coolwarm)
plt.xlabel('x', color = 'red')
plt.ylabel('y', color = 'red')
plt.show()
```